

II-162 塩水汲み上げによる河口貯水池地盤の淡塩境界面の低下

九産大 正員 崎山 正常 正員 ○青柳 戎敏

1. まえがき 本報は河口貯水池の水位が海面よりやや高く、Ghyben-Herzbergの法則により、塩水が貯水池底部に停滞する場合、地盤中の塩水の汲み上げによって淡塩境界面を地盤中に低下させる工法の提案と、これに対する地下密度流的検討を行なつたものである。

2. 深溝 まず速度ポテンシャルは $\Psi = k(P/h_1 + \gamma)$ であり、他の所要水理諸量についての無次元式を示せば

$$X = \frac{\gamma}{BC}, Y = \frac{\Psi}{BC}, \varphi = \{ \Psi - k(D_1 + D_2 - h_2) \} / (k h_1)$$

$$\psi = \Psi / (k h_1) \quad \dots \dots \dots (1)$$

これらを用いて図-1の境界条件を整理すると図-2のようになる。Yに関するLaplaceの式の一般解は $Y = \sum_{m=0}^{\infty} \{ A_m \sin(\beta m\varphi) + B_m \cos(\beta m\varphi) \} \{ a_m \sinh(\beta \psi) + b_m \cosh(\beta \psi) \}$ $\dots \dots \dots (2)$

上式の定数を図-2の境界条件によって決定すれば、若干の計算のうちに

$$Y = \frac{1}{(1-\varphi_b) + (\frac{\varepsilon}{1+\varepsilon}) \frac{D_2}{h_1}} \left[\left\{ \frac{1}{2} (1-\varphi_b)^2 + \left(\frac{\varepsilon}{1+\varepsilon} \right) \frac{D_2}{h_1} \right\} \frac{\Psi}{\beta / (k h_1)} \right]$$

$$- \frac{2}{\pi^2} \sum_{m=1}^{\infty} \left\{ \frac{\cos(m\pi\varphi_b) - (-1)^m}{m^2} \right\}$$

$$+ \frac{\sinh(m\pi\psi)}{\sinh(m\pi\beta/(k h_1))} \cdot \cos(m\pi\varphi)$$

$$X = \frac{1}{(1-\varphi_b) + (\frac{\varepsilon}{1+\varepsilon}) \frac{D_2}{h_1}} \left[\left\{ \frac{1}{2} \cdot \right. \right.$$

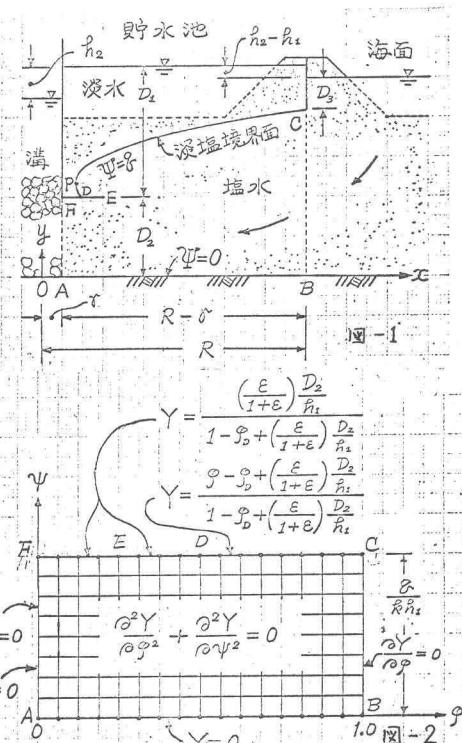
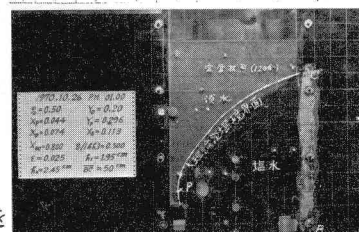
$$\cdot (1-\varphi_b)^2 + \left(\frac{\varepsilon}{1+\varepsilon} \right) \frac{D_2}{h_1} \left. \right\} \frac{\varphi}{\beta / (k h_1)} \right]$$

$$- \frac{2}{\pi^2} \sum_{m=1}^{\infty} \left\{ \frac{\cos(m\pi\varphi_b) - (-1)^m}{m^2} \right\}$$

$$\cdot \frac{\cosh(m\pi\psi)}{\cosh(m\pi\beta/(k h_1))} \cdot \sin(m\pi\varphi) \left. \right] \quad \dots \dots \dots (3)$$

式(3)による数値計算の例を

写真-1



$$\frac{\partial Y}{\partial \varphi} = 0, \frac{\partial^2 Y}{\partial \varphi^2} + \frac{\partial^2 Y}{\partial \psi^2} = 0, \frac{\partial Y}{\partial \psi} = 0 \quad \text{図-2}$$

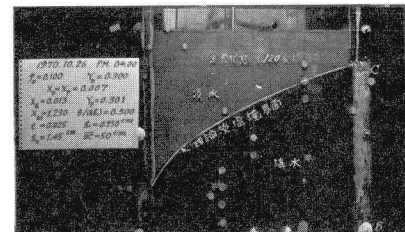
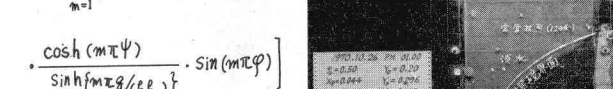
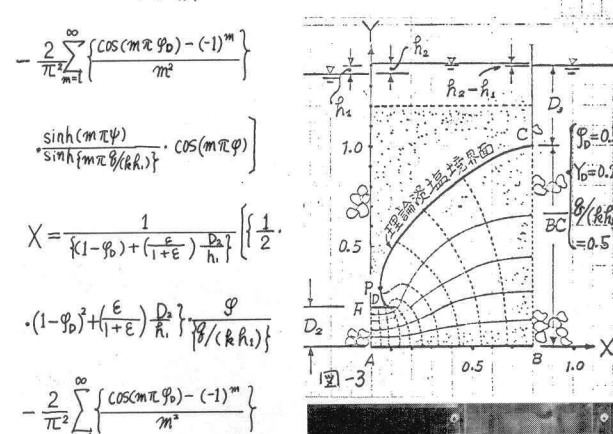


写真-2

験写真-1, 写真-2に示している。

3. 浅溝 式(1)を用いて図-5の境界条件を整理すれば図-6がえられる。これについて解析解を求めるることは困難であるので数値解により検討を加える。この場合 φ_0 は地下密度流の特性としてあらかじめ与えられるが φ_E , φ_0 , $\beta/(kh_1)$ は未知である。これらの推定にあたり、では本講演会でさきに発表したもの¹⁾と同様な手法を用いた。例解を図-7に、その実験を写真-3に示している。なお図-7の例解については、 $\varphi_0 = 0.7$, $\varphi_E = 0.5$, $\varphi_0 = 0.3$, $\beta/(kh_1) = 0.3$ であるから、海面から不透水層面までを40.0m, $\varepsilon = 0.025$, $h_2 - h_1 = 0.25$ mとするとき $h_1 = 1.22$ m, $h_2 = 1.47$ m, $D_1 = 25.25$ m, $D_2 = 15.0$ m, $D_3 = 10.0$ mとするとき $k = 10^{-5}$ m/sec, 溝の長さ500mとするとき塩水汲み上げ量は $158.1 \text{ m}^3/\text{day}$ となる。このように溝の規模に対して塩水汲み上げ量はたいした量ではないので実用化が期待できると考える。

4. 井戸 まず群井戸の解の基礎となる單一井戸の解を準一様流の仮定のもとに検討する。図-9を参照すると

$$P = \gamma_s(h-y) = \gamma_f(D_1+D_2-y_s) + \gamma_s(y_s-y) \quad \dots \dots \dots (1)$$

$$\text{すなわち} \quad h = \left(\frac{1}{1+\varepsilon}\right)(D_1+D_2) + \left(\frac{\varepsilon}{1+\varepsilon}\right)y_s \quad \dots \dots \dots (2)$$

$$\text{したがって} \quad u = k \frac{dh}{dx} = k \left(\frac{\varepsilon}{1+\varepsilon}\right) \frac{dy_s}{dx} \quad \dots \dots \dots (3)$$

$$Q = 2\pi x y_s \cdot k \left(\frac{\varepsilon}{1+\varepsilon}\right) \frac{dy_s}{dx} \quad \dots \dots \dots (4) \quad \frac{Q}{2\pi k \left(\frac{\varepsilon}{1+\varepsilon}\right)} \ln|x| = y_s^2 + \text{const} \quad \dots \dots \dots (5)$$

$$\text{また, } \bar{\psi} = k \left(\frac{P}{y_s} + y\right) \quad \dots \dots \dots (6) \quad \bar{\psi}_{AP} = k(D_1+D_2-h_2) \quad \dots \dots \dots (7)$$

海側から浸透する塩水のエネルギー損失E堤体中央の矢板直下の面BCまでは無視できるとすると、 $\bar{\psi}_{BC} = k(D_1+D_2-h_2+h_1)$ ---(8)
次に淡塩境面における圧力は $P_s = \gamma_f(D_1+D_2-y_s)$ ---(9)
であるから、これを式(6)に適用すると、

$$\bar{\psi}_s = k \left(\frac{1}{1+\varepsilon}\right)(D_1+D_2) + k \left(\frac{\varepsilon}{1+\varepsilon}\right)y_s \quad \dots \dots \dots (10)$$

$$\varphi = \left\{ \bar{\psi} - k(D_1+D_2-h_2) \right\} / (k h_1) \quad \dots \dots \dots (11)$$

$$\text{なる無次元式を導入すると} \quad \varphi_s = \frac{h_2}{h_1} - \left(\frac{\varepsilon}{1+\varepsilon}\right) \left(\frac{D_1+D_2}{h_1}\right) + \left(\frac{\varepsilon}{1+\varepsilon}\right) \frac{y_s}{h_1} \quad \dots \dots \dots (12)$$

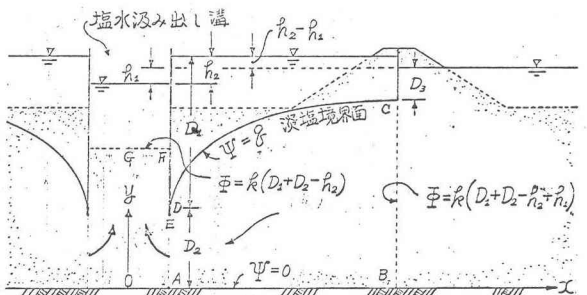


図-5

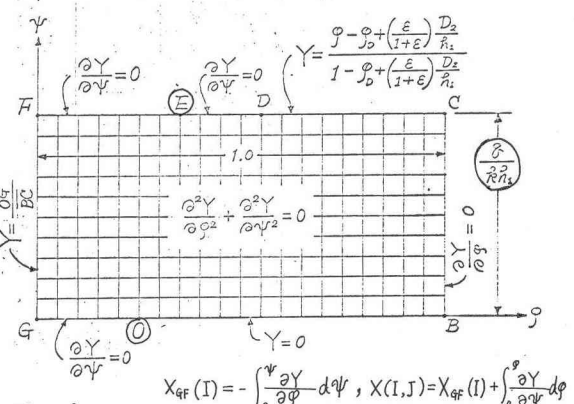


図-6

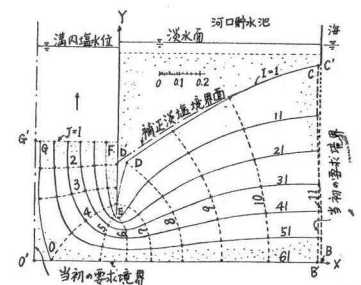


図-7

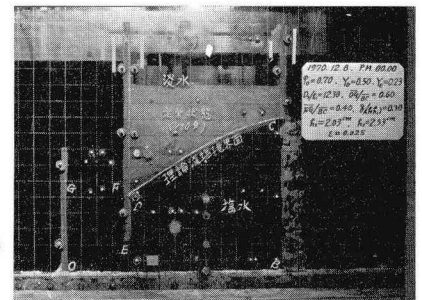


写真-3

$$\text{これより } \varphi_0 = \frac{h_2}{h_1} - \left(\frac{\epsilon}{1+\epsilon}\right) \frac{D_2}{h_1} \quad \dots \quad (13)$$

式(13)を式(12)に適用すると

$$\left(\frac{\epsilon}{1+\epsilon}\right) \frac{Y_s}{h_1} = (\varphi_s - \varphi_0) + \left(\frac{\epsilon}{1+\epsilon}\right) \frac{D_2}{h_1} \quad \dots \quad (14)$$

$$\text{さらに } X = x/\bar{B}C, Y = y/\bar{B}C \quad \dots \quad (15)$$

を導入すると、淡塩境界面では

$$Y_s = \frac{Y_s}{BC} = \frac{(\varphi_s - \varphi_0) + \left(\frac{\epsilon}{1+\epsilon}\right) \frac{D_2}{h_1}}{\left(\frac{\epsilon}{1+\epsilon}\right) \frac{D_2}{h_1}} \quad \dots \quad (16)$$

となる。ここで

$$\bar{B}C = D_1 + D_2 - (h_2 - h_1) - D_3 \quad \dots \quad (17)$$

であるが、点Cにおける圧力の条件より

$$\varphi_0 D_3 = \varphi_s (h_2 - h_1 + D_3) \quad \dots \quad (18)$$

$$\text{すなわち } D_3 = (h_2 - h_1)/\epsilon \quad \dots \quad (19)$$

これを式(17)に適用し、さらに式(13)の関係を用いれば式(16)は

$$Y_s = \frac{(\varphi_s - \varphi_0) + \left(\frac{\epsilon}{1+\epsilon}\right) \frac{D_2}{h_1}}{(1-\varphi_0) + \left(\frac{\epsilon}{1+\epsilon}\right) \frac{D_2}{h_1}} \quad \dots \quad (20)$$

がえられ、また

$$Y_0 = \frac{\left(\frac{\epsilon}{1+\epsilon}\right) \frac{D_2}{h_1}}{(1-\varphi_0) + \left(\frac{\epsilon}{1+\epsilon}\right) \frac{D_2}{h_1}} \quad \dots \quad (21)$$

がえられる。

しかし、図-9に示す点Fを決定する所要の式は理論的には求められない。そこで実用的には φ_0 は0付近の値であることから、いま $\varphi_0 < 0.1$ 程度にえらんだ場合に $\varphi_s = 2\varphi_0$ とえらべば、これに対応する Y_s は

$$Y_{s, \varphi=2\varphi_0} = \frac{\varphi_0 + \left(\frac{\epsilon}{1+\epsilon}\right) \frac{D_2}{h_1}}{(1-\varphi_0) + \left(\frac{\epsilon}{1+\epsilon}\right) \frac{D_2}{h_1}} \gtrapprox Y_0 \quad \dots \quad (22)$$

となる。そこで点D付近のボテンシャルの低下はほぼ流線長に比例すると仮定すると

$$Y_0 - Y_F \doteq Y_s, \varphi=2\varphi_0 - Y_0 = \frac{\varphi_0}{(1-\varphi_0) + \left(\frac{\epsilon}{1+\epsilon}\right) \frac{D_2}{h_1}} \quad \dots \quad (23)$$

がえられ、点Fの位置も設定することができます。ここで式(14), (20)を参照して円形と仮定された河口貯水池と同心円周上に正多角形に配置された各井戸の諸元は同じとして

$$f = \left[Q / \left\{ \pi k \left(\frac{\epsilon}{1+\epsilon} \right) R_i^2 \right\} \right] / \left\{ (1-\varphi_0) + \left(\frac{\epsilon}{1+\epsilon}\right) \frac{D_2}{h_1} \right\}^2 \quad \dots \quad (24) \quad X_i = \left(\frac{\epsilon}{1+\epsilon} \right) \frac{\sqrt{(x-x_i)^2 + (z-z_i)^2}}{h_1} / \left\{ (1-\varphi_0) + \left(\frac{\epsilon}{1+\epsilon}\right) \frac{D_2}{h_1} \right\} \quad \dots \quad (25)$$

$$\tilde{f} = \left(\frac{\epsilon}{1+\epsilon} \right) \frac{R}{h_1} / \left\{ (1-\varphi_0) + \left(\frac{\epsilon}{1+\epsilon}\right) \frac{D_2}{h_1} \right\} \quad \dots \quad (26) \quad Y_i = \left(\frac{\epsilon}{1+\epsilon} \right) \frac{Y_s}{h_1} / \left\{ (1-\varphi_0) + \left(\frac{\epsilon}{1+\epsilon}\right) \frac{D_2}{h_1} \right\} \quad \dots \quad (27)$$

以上無次元式を導入して井戸の総数を九個とすると、基礎式(5)の重ね合せにより

$$Y_s^2 = \sum_{i=1}^9 f \cdot \ln \left| \left(X_i / \tilde{f} \right) \right| + \text{const} \quad \dots \quad (28)$$

境界条件は $|Y_s| = L_i$ において $Y_s = 1$ であるとすると、

$$\text{const} = 1 - \sum_{i=1}^n g \cdot \ln(L_i/f_i) \quad \dots \dots \dots \quad (29)$$

また各井戸の側面においては $Y_s = Y_0$ であるから

$$\text{const} = Y_0^2 - \sum_{i=1}^n g \cdot \ln \left\{ (L_{ij} - f_i)/f_i \right\} \quad \dots \dots \dots \quad (30)$$

ここに L_{ij} は i 番目の井戸と j 番目の井戸の中心間距離である。式(29), (30)より塩水汲み上げ量の算定式

$$\sum_{i=1}^n g \cdot \ln \left(L_i/f_i \right) - \sum_{i=1}^n g \cdot \ln \left(\frac{L_{ij} - f_i}{f_i} \right) = 1 - Y_0^2 \quad \dots \dots \dots \quad (31)$$

が求まり、また淡塩境界面の式は式(28), (29)より

$$Y_s^2 = 1 - \sum_{i=1}^n g \cdot \ln \frac{L_i}{|X_i|} \quad \dots \dots \dots \quad (32)$$

となる。ところで式(29)の誘導過程で必要であるに L_{ij} は、図-10(A)に示すようにその起点をかえると一般には異なった値とは、て普遍的ではないが、これが水理諸量に与える影響は小さい。たとえば正三角形配置の場合には式(34)より

$$g = \left\{ 1 - Y_0^2 \right\} / \left[\ln \frac{L_1 \cdot L_2 \cdot L_3}{f^3} - \ln \left\{ \frac{(L_{21} - f)^2 (L_{32} - f)^2}{f^2} \right\} \right] \quad \dots \dots \dots \quad (33)$$

となり、 $L_1 \cdot L_2 \cdot L_3 = (1 - \lambda^3) L^3$, $L_1' \cdot L_2' \cdot L_3' = (1 + \lambda^3) L^3$,

$$L_{21} = L_{32} = \sqrt{3} \lambda L \quad \dots \dots \dots \quad (34)$$

となるが、 $\lambda = 0.5$, $f/L = 0.025$ のとき、式(33)

の分母の数値的差は 7% 弱である。井戸の総数が n 個の場合には、これに相当する分母の差は、

$$\left| \ln \left(\frac{1 - \lambda^n}{1 + \lambda^n} \right) \right|, (\lambda < 1) \text{ であるから、} n \text{ が大きいほど、} \lambda \text{ が小} \rightarrow \text{ いと云ふ。}$$

写真-4

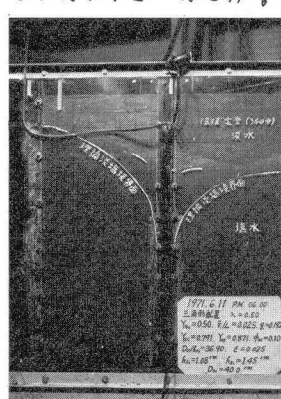


写真-4

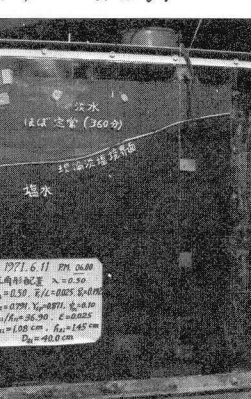


写真-5

例解を図-14に、その実験を写真-4, 写真-5に示している。紙面の都合で不十分な説明でおわるが詳細は講演時に述べる。

参考文献 1) 青柳武雄: 淡水注入による河口貯水池の塩水侵入、不講演集内。

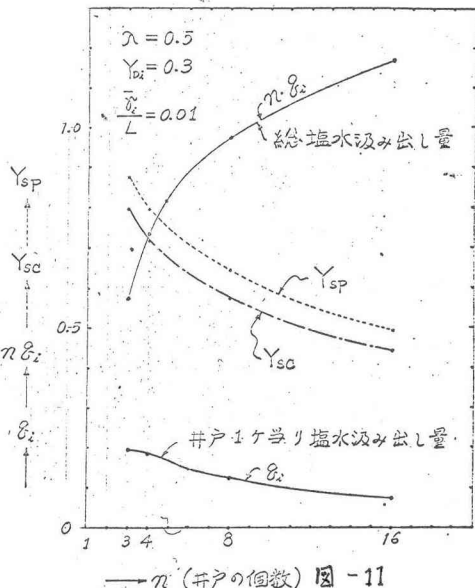


図-11

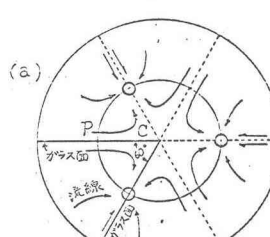


図-12 正三角形配置

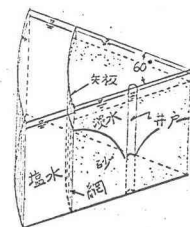


図-13
二面ガラス張り扇形水槽

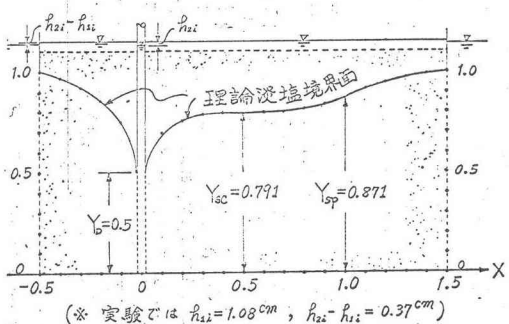


図-14